

# Starkniederschlagshöhen und -spenden gemäß KOSTRA-DWD-2020

## Rasterfeld 183111

(Zeile 183, Spalte 111)

### Regenspende und Bemessungsniederschlagswerte in Abhängigkeit von Wiederkehrzeit T und Dauerstufe D

| Dauerstufe D |     | Wiederkehrzeit T |            |      |            |      |            |      |            |       |            |       |            |       |            |       |            |       |            |
|--------------|-----|------------------|------------|------|------------|------|------------|------|------------|-------|------------|-------|------------|-------|------------|-------|------------|-------|------------|
|              |     | 1 a              |            | 2 a  |            | 3 a  |            | 5 a  |            | 10 a  |            | 20 a  |            | 30 a  |            | 50 a  |            | 100 a |            |
| min          | Std | mm               | l / (s ha) | mm   | l / (s ha) | mm   | l / (s ha) | mm   | l / (s ha) | mm    | l / (s ha) | mm    | l / (s ha) | mm    | l / (s ha) | mm    | l / (s ha) | mm    | l / (s ha) |
| 5            |     | 7,8              | 260,0      | 9,7  | 323,3      | 10,8 | 360,0      | 12,3 | 410,0      | 14,5  | 483,3      | 16,7  | 556,7      | 18,2  | 606,7      | 20,1  | 670,0      | 22,8  | 760,0      |
| 10           |     | 9,6              | 160,0      | 11,9 | 198,3      | 13,3 | 221,7      | 15,1 | 251,7      | 17,8  | 296,7      | 20,5  | 341,7      | 22,3  | 371,7      | 24,7  | 411,7      | 28,1  | 468,3      |
| 15           |     | 10,8             | 120,0      | 13,3 | 147,8      | 14,9 | 165,6      | 17,0 | 188,9      | 20,0  | 222,2      | 23,0  | 255,6      | 25,1  | 278,9      | 27,7  | 307,8      | 31,5  | 350,0      |
| 20           |     | 11,7             | 97,5       | 14,4 | 120,0      | 16,1 | 134,2      | 18,4 | 153,3      | 21,6  | 180,0      | 25,0  | 208,3      | 27,2  | 226,7      | 30,0  | 250,0      | 34,1  | 284,2      |
| 30           |     | 13,1             | 72,8       | 16,1 | 89,4       | 18,0 | 100,0      | 20,6 | 114,4      | 24,2  | 134,4      | 27,9  | 155,0      | 30,4  | 168,9      | 33,6  | 186,7      | 38,1  | 211,7      |
| 45           |     | 14,6             | 54,1       | 18,0 | 66,7       | 20,1 | 74,4       | 22,9 | 84,8       | 27,0  | 100,0      | 31,1  | 115,2      | 33,9  | 125,6      | 37,4  | 138,5      | 42,6  | 157,8      |
| 60           | 1   | 15,7             | 43,6       | 19,5 | 54,2       | 21,8 | 60,6       | 24,8 | 68,9       | 29,2  | 81,1       | 33,7  | 93,6       | 36,6  | 101,7      | 40,5  | 112,5      | 46,0  | 127,8      |
| 90           | 1,5 | 17,5             | 32,4       | 21,7 | 40,2       | 24,3 | 45,0       | 27,6 | 51,1       | 32,5  | 60,2       | 37,5  | 69,4       | 40,8  | 75,6       | 45,1  | 83,5       | 51,3  | 95,0       |
| 120          | 2   | 18,9             | 26,3       | 23,4 | 32,5       | 26,2 | 36,4       | 29,8 | 41,4       | 35,1  | 48,8       | 40,5  | 56,3       | 44,0  | 61,1       | 48,7  | 67,6       | 55,3  | 76,8       |
| 180          | 3   | 21,1             | 19,5       | 26,1 | 24,2       | 29,2 | 27,0       | 33,2 | 30,7       | 39,1  | 36,2       | 45,1  | 41,8       | 49,1  | 45,5       | 54,2  | 50,2       | 61,6  | 57,0       |
| 240          | 4   | 22,8             | 15,8       | 28,2 | 19,6       | 31,5 | 21,9       | 35,9 | 24,9       | 42,2  | 29,3       | 48,7  | 33,8       | 53,0  | 36,8       | 58,5  | 40,6       | 66,5  | 46,2       |
| 360          | 6   | 25,4             | 11,8       | 31,4 | 14,5       | 35,1 | 16,3       | 39,9 | 18,5       | 47,0  | 21,8       | 54,2  | 25,1       | 59,0  | 27,3       | 65,2  | 30,2       | 74,1  | 34,3       |
| 540          | 9   | 28,2             | 8,7        | 34,9 | 10,8       | 39,0 | 12,0       | 44,5 | 13,7       | 52,3  | 16,1       | 60,4  | 18,6       | 65,6  | 20,2       | 72,6  | 22,4       | 82,5  | 25,5       |
| 720          | 12  | 30,5             | 7,1        | 37,7 | 8,7        | 42,1 | 9,7        | 48,0 | 11,1       | 56,4  | 13,1       | 65,1  | 15,1       | 70,8  | 16,4       | 78,3  | 18,1       | 89,0  | 20,6       |
| 1080         | 18  | 33,9             | 5,2        | 41,9 | 6,5        | 46,9 | 7,2        | 53,4 | 8,2        | 62,8  | 9,7        | 72,5  | 11,2       | 78,8  | 12,2       | 87,2  | 13,5       | 99,1  | 15,3       |
| 1440         | 24  | 36,6             | 4,2        | 45,2 | 5,2        | 50,6 | 5,9        | 57,6 | 6,7        | 67,8  | 7,8        | 78,2  | 9,1        | 85,1  | 9,8        | 94,0  | 10,9       | 106,9 | 12,4       |
| 2880         | 48  | 43,9             | 2,5        | 54,3 | 3,1        | 60,8 | 3,5        | 69,2 | 4,0        | 81,4  | 4,7        | 94,0  | 5,4        | 102,2 | 5,9        | 113,0 | 6,5        | 128,4 | 7,4        |
| 4320         | 72  | 48,9             | 1,9        | 60,5 | 2,3        | 67,6 | 2,6        | 77,1 | 3,0        | 90,6  | 3,5        | 104,6 | 4,0        | 113,7 | 4,4        | 125,7 | 4,8        | 142,9 | 5,5        |
| 5760         | 96  | 52,8             | 1,5        | 65,3 | 1,9        | 73,0 | 2,1        | 83,1 | 2,4        | 97,8  | 2,8        | 112,8 | 3,3        | 122,7 | 3,6        | 135,7 | 3,9        | 154,2 | 4,5        |
| 7200         | 120 | 56,0             | 1,3        | 69,2 | 1,6        | 77,4 | 1,8        | 88,2 | 2,0        | 103,7 | 2,4        | 119,7 | 2,8        | 130,2 | 3,0        | 143,9 | 3,3        | 163,6 | 3,8        |
| 8640         | 144 | 58,7             | 1,1        | 72,6 | 1,4        | 81,2 | 1,6        | 92,5 | 1,8        | 108,8 | 2,1        | 125,6 | 2,4        | 136,6 | 2,6        | 151,0 | 2,9        | 171,6 | 3,3        |
| 10080        | 168 | 61,2             | 1,0        | 75,7 | 1,3        | 84,6 | 1,4        | 96,4 | 1,6        | 113,3 | 1,9        | 130,8 | 2,2        | 142,3 | 2,4        | 157,3 | 2,6        | 178,8 | 3,0        |

# Starkniederschlagshöhen und -spenden gemäß KOSTRA-DWD-2020

## Rasterfeld 183111

(Zeile 183, Spalte 111)

### Örtliche Unsicherheiten in Abhängigkeit von Wiederkehrzeit T und Dauerstufe D

| Dauerstufe D |     | Wiederkehrzeit T |     |     |     |      |      |      |      |       |
|--------------|-----|------------------|-----|-----|-----|------|------|------|------|-------|
|              |     | 1 a              | 2 a | 3 a | 5 a | 10 a | 20 a | 30 a | 50 a | 100 a |
| min          | Std | ± %              | ± % | ± % | ± % | ± %  | ± %  | ± %  | ± %  | ± %   |
| 5            |     | 16               | 17  | 18  | 19  | 20   | 20   | 21   | 21   | 21    |
| 10           |     | 19               | 20  | 21  | 22  | 23   | 24   | 24   | 24   | 25    |
| 15           |     | 19               | 21  | 22  | 23  | 24   | 25   | 25   | 26   | 26    |
| 20           |     | 20               | 22  | 23  | 24  | 25   | 25   | 26   | 26   | 27    |
| 30           |     | 20               | 22  | 23  | 24  | 25   | 26   | 26   | 27   | 27    |
| 45           |     | 19               | 21  | 22  | 23  | 24   | 25   | 26   | 26   | 27    |
| 60           | 1   | 19               | 21  | 22  | 23  | 24   | 25   | 25   | 26   | 26    |
| 90           | 1,5 | 18               | 20  | 21  | 22  | 23   | 24   | 24   | 25   | 25    |
| 120          | 2   | 17               | 19  | 20  | 21  | 22   | 23   | 23   | 24   | 24    |
| 180          | 3   | 16               | 17  | 18  | 19  | 20   | 21   | 22   | 22   | 23    |
| 240          | 4   | 15               | 17  | 17  | 18  | 19   | 20   | 21   | 21   | 22    |
| 360          | 6   | 14               | 16  | 16  | 17  | 18   | 19   | 19   | 20   | 20    |
| 540          | 9   | 13               | 15  | 15  | 16  | 17   | 18   | 18   | 19   | 19    |
| 720          | 12  | 13               | 14  | 15  | 16  | 17   | 17   | 18   | 18   | 19    |
| 1080         | 18  | 14               | 14  | 15  | 15  | 16   | 17   | 17   | 17   | 18    |
| 1440         | 24  | 14               | 14  | 15  | 15  | 16   | 16   | 17   | 17   | 17    |
| 2880         | 48  | 16               | 16  | 16  | 16  | 16   | 17   | 17   | 17   | 17    |
| 4320         | 72  | 18               | 18  | 17  | 17  | 17   | 17   | 18   | 18   | 18    |
| 5760         | 96  | 20               | 19  | 19  | 18  | 18   | 18   | 18   | 18   | 19    |
| 7200         | 120 | 21               | 20  | 20  | 19  | 19   | 19   | 19   | 19   | 19    |
| 8640         | 144 | 22               | 21  | 21  | 20  | 20   | 20   | 20   | 20   | 20    |
| 10080        | 168 | 23               | 22  | 22  | 21  | 21   | 21   | 21   | 21   | 21    |

### Parameter für abweichende T und D

#### Lokationsparameter $\xi$ (Xi)

15,81569723

#### Skalenparameter $\alpha$ (Alpha)

5,19864086

#### Formparameter $\kappa$ (Kappa)

-0,1

#### 1. Koutsoyiannis-Parameter $\theta$ (Theta)

0,00566176

#### 2. Koutsoyiannis-Parameter $\eta$ (Eta)

0,73582661

Parameter für dauerstufenübergreifende Extremwertschätzung nach KOUTSOYIANNIS et al. 1998.

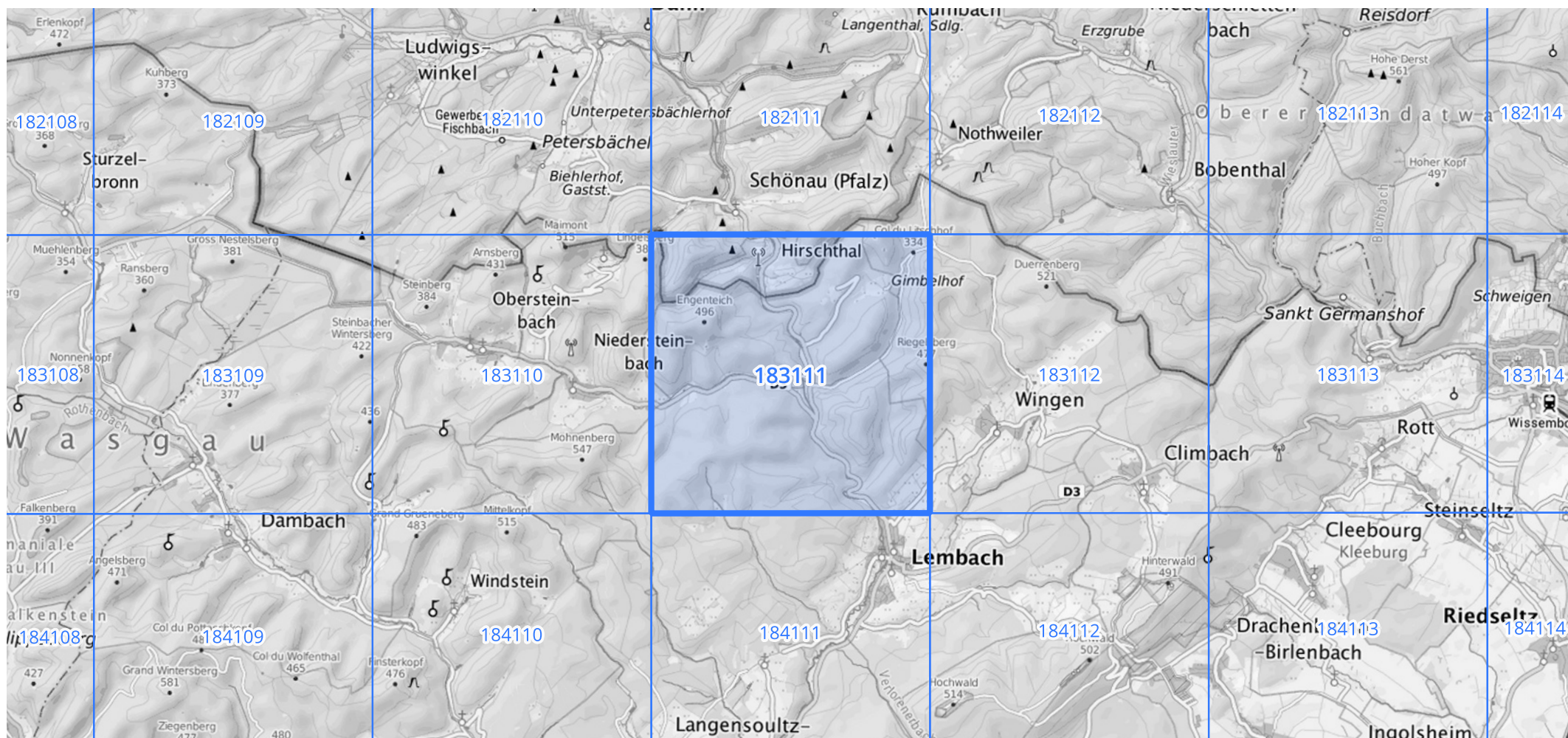
Siehe auch Anwendungshilfe zu KOSTRA-DWD-2020 des Deutschen Wetterdienstes.

# Starkniederschlagshöhen und -spenden gemäß KOSTRA-DWD-2020

## Rasterfeld 183111

(Zeile 183, Spalte 111)

### Übersichtskarte des Rasterfeldes 183111, M 1 : 100 000



Quelle Rasterdaten: KOSTRA-DWD-2020 des Deutschen Wetterdienstes, Stand 12/2022.

Seite 3 von 3

Kartendarstellung: © Bundesamt für Kartographie und Geodäsie (2023), Datenquellen: [https://sgx.geodatenzentrum.de/web\\_public/gdz/datenquellen/Datenquellen\\_TopPlusOpen.html](https://sgx.geodatenzentrum.de/web_public/gdz/datenquellen/Datenquellen_TopPlusOpen.html)

Für die Richtigkeit und Aktualität der Angaben wird keine Gewähr übernommen. Erstellt 01/2023.